20.5 ФОЛИТ ИИЗ ЧРЯПРОВОРО ЦЧИЧНИТЬЦЭН ВЬДЬНИЧЕР ИЗВЕСТИЯ АКАДЕМИИ НАУК АРМЯНСКОЙ ССР

Սեխանիկա

42, Na 3, 1989

Механика

УДК 539.3

ОБ АСИМПТОТИЧЕСКОМ РЕШЕНИИ ИЕКЛАССИЧЕСКИХ КРАЕВЫХ ЗАДАЧ ДЛЯ ДВУХСЛОПНЫХ АНИЗОТРОПНЫХ ТЕРМОУПРУГИХ ОБОЛОЧЕК

АГАЛОВЯН Л. А., ГЕБОРКЯН Р. С.

Оптимизационные требования к конструктивным элементам гина слоистых пластии и оболочек выиуждают совершенствовать существующие методы их расчета. Для иластии и оболочек, работающих в термоупругой стадии, этого можно достигнуть, в частности, на основе решения соответствующей трехмерной задачи и его последующего анализа. В работе получено асимптотическое решение класса смещавных пространственных задач для двухслойных термоупругих оболочек. Считается, что слои обладают произвольной анизотропией (21 упругая константа) и могут являться, например, композитами с пространственным армированием. Полученные результаты проиллюстрированы на двух модельных задачах для двухслойных цилиндрических оболочек. Указанный подход можно обобщить на оболочки из произвольного числа слоев*.

Требуется определить напряженно-деформированное состояние такой оболочки, когда на одной ее лицевой поверхности $\gamma=-h_{z}$ заданы перемещения

$$u_2(-h_2) = u^-, \quad u_3(-h_2) = v^-, \quad u_1(-h_2) = w$$
 (1.1)

а на другой — $\gamma = h_1$ задана одна из следующих групп условий, представляющих в практических приложениях наибольший интерес:

1)
$$z_{xx}(h_1) = \varepsilon^{-1} z_{xx}^+, \quad z_{yx}(h_1) = \varepsilon^{-1} z_{xx}^+, \quad z_{yx}(h_1) = \varepsilon^{-1} z_{xx}^+$$

2)
$$u_1(h_1) = u^-$$
, $u_2(h_1) = v^-$, $u_2(h_1) = w^+$

3)
$$s_{-}(h_1) = \varepsilon^{-1}$$
, $u_{-}(h_1) = v^{-}$, $u_{-}(h_1) = u^{-}$ (1.2)

4)
$$u_1(h_1) = w_1, \quad z_{3j}(h_1) \Rightarrow z^{-1} z_{3j}^+, \quad z_{\alpha_j}(h_j) = z^{-1} z_{\alpha_j}^+$$

Считается, что на оболочку действуют также объемные силы с компонентами $F^{(t)}$, $F^{(t)}$, $F^{(t)}$ и температурное поле. воздействие кото-

Часть полученных результатов доложень на VI Вессоюзном съезде по теоретической и прикладной механике (Ташкент, 1986 г.).

рого описывается по модели Дюямеля-Неймана с помощью функции приращения температуры $6^{(i)}(z, -\gamma) = 7^{(i)}(z, 3, \gamma) = T_0^{(i)}(z, 3, \gamma)$. Здесь и далее i=1 для слоя i=2 для слоя i=2 для слоя i=20. На боковой поверхности (торцах) оболочки могут быть заданы произвольные условия, они в сформулированных задачах не влияют на ход определения решения внутренней задачи, ими обусловлен пограничный слой. На поверхности раздела слоев $\gamma=0$ должны выполняться условия контакта

$$u^{(i)}(0) = u^{(2)}(0), \quad z^{(i)}(0) = z^{(i)}(0), \quad (z, \beta, \gamma)$$
 (1.3)

Поставленная краевая задача отличается от задач классической теории оболочек тем, что на лицевых поверхностях $\gamma = h_1$, $-h_1$ заданы иные условия. Поэтому такую краевую задачу мы назвали неклассической, хотя с позиций теории упругости; она также является классической.

Подобного рода задачи возникают, в частности, при исследовании контакта податливого тела с более жестким в расчетах упругих оснований и фундаментов и др. [8, 9].

Чтобы решить сформулированную задачу, будем исходить из уравнений пространственной задачи термоупругости (уравнения равновесия, состояния, святи деф-румации-деремещения) и чтобы уменьшить выкладки, в качестве неизвестных выберем компоненты несимметричного тензора напряжений τ_{O} и безразмерные перемещения u=u/R, v=u/R, $w=a_1/R$, г.т.е R—характерный размер оболочки (наименьший из радиусов кривизи и линейных размеров координатной поверхности), τ_{O} выражаются через компоненты симметричного тензора и следующим образом [1]:

$$\tau_{az} = (1 + \gamma/R_2)\sigma_{az}, \quad \tau_{bb} = (1 + \gamma/R_1)\tau_{bb}
\tau_{az} = (1 + \gamma/R_2)\tau_{az}, \quad \tau_{bz} = (1 + \gamma/R_2)\sigma_{bz}
\tau_{az} = (1 + \gamma/R_2)\tau_{az}, \quad \tau_{bz} = (1 + \gamma/R_1)\sigma_{bz}$$

$$\tau_{az} = (1 + \gamma/R_2)\tau_{az}, \quad \tau_{bz} = (1 + \gamma/R_1)\sigma_{bz}$$
(1.4)

В уравнениях пространственной задачи термоупругости анизотролного тела [1, 2] перейдем к безразмерным переменным

$$z = Ri, \quad \beta = R\eta, \quad \gamma = \epsilon Ri. \tag{1.5}$$

где h_1R —малый параметр (если $h_1>h_2$, целесообразно ввести h_1R). В переменных ξ , τ , ξ система уравнений является сингулярно возмущенной. Известным приемом [3] можно учесть также изменяемость по координатным лииням, если иместо (1.5) явести соответствующие переменные. Решение сингулярно возмущенной системы складывается из решений внутренней задачи (проникающая часть решения) и пограничного слоя [4].

Решение внутренией задачи будем искать в виде асимптотического разложения [5]

$$Q_I^{(i)} = \sum_{j=1}^{N} i^{j+1} Q_I^{(i-1)} \qquad i = 1, 2$$
 (1.6)

где $\mathbf{x}_d = \mathbf{0}$ для перемещений, $\mathbf{x}_c = \mathbf{x}_d - \mathbf{1}$ для напряжений. Одновременно предполагается, что компоненты объемных сил и изменение температуры допускают представления

$$F_{*}^{(t)} = \sum_{s=0}^{N} \varepsilon^{-2+s} F_{*s}^{(t)}, (s, \beta, \gamma), \quad \theta^{(t)} = \sum_{s=0}^{N} \varepsilon^{-1+s} \, \theta^{(t)}$$
 (1.7)

нбо лишь при асимптотике (1.7) в уравнениях для исходного приближения будут выступать компоненты объемных сил и температуры. Для этого объемные силы должны иметь достаточно большую интенсивность, в противном случае соответствующие слагаемые будут порядком меньше и будут входить в уравнения для последующих приближений.

Подставив представления (1.6), (1.7) в преобразованные уравнения термоупругости, по обычной процедуре [1, 3, 5] получим разрешающую систему уравнений относительно неизвестных коэффициен- $Q^{(\ell,s)}$. Решив эту систему, удовлетворив граничным условиям (11) и условиям контакта (1.3), получим общин интеграл системы разрешающих уравнений внутренией залачи в виде

$$\begin{aligned} \tau_{\alpha\alpha}^{(l,s)} &= A_{13}^{(l)} + A_{14}^{(l)} + A_{14}^{(l)} + A_{22}^{(l,s)} + \tau_{22}^{(l,s)}(\xi, \tau_{l}, \zeta), \ (x, \beta; 1, 2) \\ \tau_{\alpha\beta}^{(l,s)} &= A_{13}^{(l)} + A_{61}^{(l)} \tau_{\beta\gamma}^{(s)} + A_{65}^{(l)} \tau_{\gamma\gamma}^{(s)} + (\xi, \tau, \zeta) \\ \tau_{\gamma\beta}^{(l,s)} &= A_{13}^{(l)} + A_{61}^{(l)} \tau_{\beta\gamma}^{(s)} + A_{65}^{(l)} \tau_{\gamma\gamma}^{(s)} + (\xi, \tau, \zeta) \\ u^{(l,s)} &= (A_{13}^{(l)} \zeta - A_{53}^{(l)}) \tau_{\gamma\gamma}^{(s)} + (A_{13}^{(l)} \zeta + A_{53}^{(2)}) + (\lambda_{13}^{(l)} \zeta + A_{53}^{(2)}) + (\lambda_{13}^{(l)} \zeta + A_{34}^{(2)}) + (\lambda_{13}^{(l)} \zeta + A_{34}^{(2)}) \tau_{\gamma\gamma}^{(s)} + (\lambda_{13}^{(l)} \zeta + A_{34}^{(2)}) \tau_{\gamma\gamma}^{(s)} + (\lambda_{13}^{(l)} \zeta + A_{33}^{(2)}) \tau_{\gamma\gamma}^{(s)} + (\lambda_{13}^{(l)} \zeta + A_{34}^{(2)}) \tau_{\gamma\gamma}^{(s)} + (\lambda_{13}^{(l)} \zeta + A_{33}^{(2)}) \tau_{\gamma\gamma}^{(s)} + (\lambda_{13}^{(l)} \zeta + \lambda_{13}^{(l)}) \tau_{\gamma\gamma}^{(s)} + ($$

где

$$\begin{split} &-r_{1}\tau_{a_{1}}^{(l,s)} = -r_{2}\tau_{b_{1}}^{(l,s)-1} + RF_{a_{1}}^{(l)} + \zeta R(r_{1} + r_{2})F_{a_{1}-1}^{(l)} - \zeta Rr_{1}r_{2}F_{a_{1}-2}^{(l)} \right] d\zeta, \\ &\tau_{a_{1}}^{(l,s)} = B_{a_{1}}^{(l)}P(t^{(l,s)} + B_{a_{2}}^{(l)}P_{a_{1}}^{(l,s)} + B_{a_{1}}^{(l)}P_{a_{2}}^{(l,s)} + (\alpha, \beta; 1, 2) \\ &\tau_{a_{1}}^{(l,s)} = B_{a_{1}}^{(l)}P(t^{(l,s)} + B_{a_{2}}^{(l)}P_{a_{2}}^{(l,s)} + B_{a_{1}}^{(l)}P_{a_{2}}^{(l,s)} + B_{a_{2}}^{(l)}P_{a_{2}}^{(l,s)} + B_{a_{2}}^{(l)}P_{a_{2}}^{(l,s)} + B_{a_{2}}^{(l)}P_{a_{2}}^{(l,s)} + A_{a_{2}}^{(l)}\tau_{a_{2}}^{(l,s)} + A_{a_{2}}^{(l)}\tau_{a_{2}}^$$

$$\begin{aligned}
& \tau_{j,1}^{(l,s-1)} + a_{j,k}^{(l)} r_1 \tau_{j,1}^{(l-s-1)} + a_{j,k}^{(l)} r_1 \tau_{j,k}^{(l,s-1)}) - \\
& - \tau_{j,2}^{(l)} \tau_1 (r_1 + r_2) \beta_{j,j-1}^{(l)} - a_{j,k}^{(l)} \tau_2 r_1 r_2 \beta_{j,j-2}^{(l)} \\
& \Delta = a_{11} a_{22} a_{34} + 2a_{12} a_{16} a_{26} - a_{22} a_{16}^2 - a_{36} a_{12}^2 - a_{11} a_{26}^2 \\
& B_{kk} = (a_{1l} a_{jj} - a_{jl}) / \Delta, \quad B_{kj} = (a_{kl} a_{jl} - a_{kl} a_{ll}) / \Delta \\
& A_{km} = -(a_{1m} B_{kl} + a_{2m} B_{k2} + a_{5m} B_{k6}), \quad B_{kj} = B_{jk} \\
& A_{nm} = a_{01} A_{1m} - a_{02} A_{2m} + a_{n6} A_{6m} + a_{nm}, \quad A_{nm} - A_{mn} \\
& j \neq l \neq k \neq j, \quad j, \quad k, \quad l = 1, 2, 6,; \quad m, \quad n = 3, 4, 5 \end{aligned}$$

$$u^{-(l)} = u / R, \quad u^{-(s)} = 0 \quad s \neq 0, \quad (u, v, w), \quad r_1 = R / R_1, \quad r_2 = R / R_2$$

u = u / R, u = 0, $s \neq 0$, (u, v, w), $r_1 = R + R_1$, $r_2 = R / R_2$ $\dot{k}_3 = \frac{1}{AB} \frac{\partial A}{\partial 1}$, $k = \frac{1}{AB} \frac{\partial B}{\partial 2}$ — геодезические кривизны, R_3 , R_4 —главные

раднусы кривизны поверхности контакта слоев. Всем величинам, входвидим в выражения Δ , A_{fk} , B_{fk} , необходимо приписать индекс (1).

В формулах (1.8) $\tau_{1,0}^{(t)}(\xi,\tau_i)$, $\tau_{4,0}^{(t)}(\xi,\tau_i)$, $\tau_{4,0}^{(t)}(\xi,\tau_i)$ произвольные пока функции интегрирования, которые однозначно определяются из граничных условий (1.2). Если на поверхности $\tau = h_1$ ($\tau = -1 = h_1/h_2$) заданы значения напряжений (первая группа условий (1.2)) эти функции определяются по формулам

$$\tau_{10}^{(i)} = \tau_{110}^{+(i)} - \tau_{110}^{(i)}(\zeta_1), \ (z, \beta), \ \tau_{1}^{(i)} = \tau_{110}^{(i)} - \tau_{174}^{(i,s)}(\zeta_1) \tag{1.10}$$

где

$$\tau_{\alpha_1}^{+(0)} = \sigma_{\alpha_1}^+, \quad \tau_{\alpha_2}^{-(s)} = 0, \quad s > 1, \quad (a, 3; 1, 2)$$

$$\tau_{11}^{+(0)} = \sigma_{11}^{-}, \quad \tau_{21}^{+(1)} = \iota_{1}(r_{1} - r_{2}) \, \sigma_{11}^{+}, \quad \tau_{2}^{-(2)} = \mathbb{I}^{2} \, r_{1} \, r_{2} \, \sigma_{2}^{-}, \quad \tau_{2}^{(v)} = 0, \quad s > 2$$

$$(1.11)$$

Если же при тай, задана вторая группа условий (1.2), то

$$= D_{ss} V + D_{ss} V_{\beta}^{(s)} + D_{ss} V_{z}^{(s)}, \quad (\alpha, \beta; 4, 5)$$

$$= D_{ss} V + D_{ss} V_{\beta}^{(s)} + D_{ss} V_{z}^{(s)}$$
(1.12)

где

$$V^{(1)} = h_{2} \{ u^{2} = (-1) - u^{(1,s)}(1 = c_{1}) + u^{-(s)} - u^{-(s)} \}, \quad (x, -\gamma; u, v, w)$$

$$u^{\pm(0)} = u^{\pm} \{ R, -u^{\pm(s)} = 0, -(s \neq 0), -(u, v, w) - (1.13) \}$$

$$D_{ij} = (c_{kj} c_{ij} - c_{ij} c_{kj}), \Delta_{ij}, \quad D_{ij} = (c_{kl} c_{jj} - c_{kj} c_{kl}) \} \Delta_{ij}$$

$$= h_{ij} + h_{ij} A_{ij}^{2}, \quad (x, -\gamma; u, v, w)$$

$$= (x_{ij} c_{ij} - c_{kj} c_{kl}) \} \Delta_{ij}$$

$$= h_{ij} + h_{ij} A_{ij}^{2}, \quad (x, -\gamma; u, v, w)$$

$$= (x_{ij} c_{ij} - c_{kj} c_{kl}) \} \Delta_{ij}$$

$$= h_{ij} + h_{ij} A_{ij}^{2}, \quad (x, -\gamma; u, v, w)$$

$$= (x_{ij} c_{ij} - c_{kj} c_{kl}) \} \Delta_{ij}$$

$$a_{10} = c_{11} c_{15} c_{15} + c_{44} c_{25} c_{53} + c_{55} c_{34} c_{43} - c_{33} c_{14} c_{55} - c_{14} c_{45} c_{53} - c_{35} c_{54} c_{43}$$

Когда при $\gamma=h_1$ заданы условия (1.2) для смешанных задач, подчинив решение (1.8) этим условиям, аналогичным образом определим значения $\tau_{xy0}^{(s)}$, $\tau_{xy0}^{(s)}$, $\tau_{xy0}^{(s)}$, $\tau_{xy0}^{(s)}$ и для этих случаев.

Таким образом, неизвестные внутренней задачи полностью определяются из условий, заданных на лиисных поверхностях оболочки, 32 независимо от условий на ее боковой поверхности (торцах). Этим свойством указанный класс задач принципнально отличается от задач классической теории оболочек, поскольку в последнем случае решение внутренией задачи содержит произволы, которые затем определяются из условий на боковой поверхности [3]. Здесь же условиям на боковой поверхности [3]. Здесь же условиям на боковой поверхности слой. Вопросы построения пограничного слоя и его взаимодействия с внутренней задачей для оболочек рассматриваются по апалогии с пластинами [6, 7]. Отметим также, что асимптотическим методом, изложенным выше, можно решать смешанные задачи для многослойных оболочек.

В заключение этого раздела сделаем одно замечание общего характера: представлением (1.6), (1.8) определяются решения, имеющие асимптотический характер, то есть предполагается, что

$$Q = \sum_{s=1}^{n-1} e^{s+s} Q^{(s)} + O(\varepsilon^{s+N})$$
 (1.14)

Если в общем случае оценка остаточного члена для каждого N затруднительна в силу многообразия вариантов задания отношений упругих и геометрических характеристик слоев [10], в каждой же конкретной задаче она не представляет большего груда, поскольку из общего формального решения (16), (1.8), (1.10), (1.12) легко выписываются все величины, подлежащие оценке. Когда слои резко отличаются по своим упругим и геометрическим характеристикам, можно указать случаи (хотя бы теоретические), когда асимптотика (1.6) будет нарушена, то есть некоторые отброшенные для данного «S» слагаемые будут иметь порядок оставленных. Возникающие возможные ситуации подробно изучены в [10]. Общая качественная картина и методика исследования вопроса, изложенные в [10], остаются в силе и в обсуждаемом случае.

2. Приведем решения двух задач для двухслойных ортотропных цилиндрических оболочек, иллюстрирующие возможности изложенного выше подхода.

Имеем двухслойную ортотропную круговую цилиндрическую оболочку, внутренняя поверхность которой жестко закреплена, а внешняя свободна от нагрузок (фиг. 1). Оболочка находится в температурном поле и пусть изменение температурного поля по толщине оболочки линейно: 600 = 417 + 6 1 - 1 2

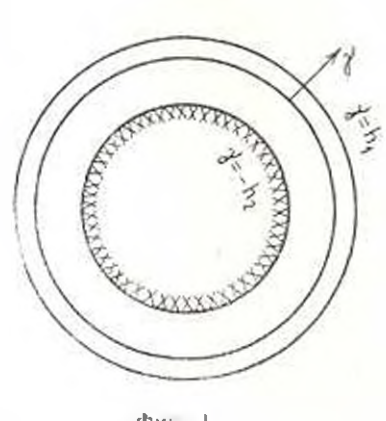
Выбрав за с длину по образующей, за 3-длину дуги направляющего цилиндра, будем иметь

A=B=1, $r_1=0$, $r_2=1$, $k_2=k_3=0$, $1/R_1=0$, $R_2=R$ где R—раднус поверхности коштакта слоев. Напряжения и перемещения такой оболочки вычислим по формулам (1.6), (1.8)—(1.11).

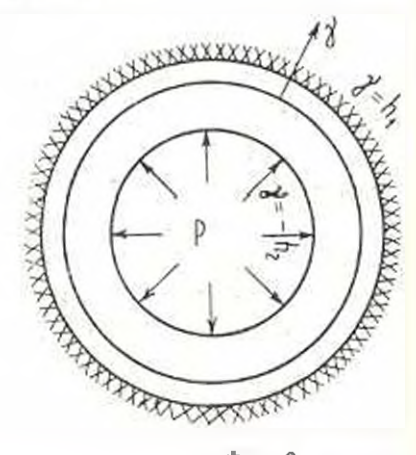
С точностью О(г^а) они будут:

$$a^{(l)} = a^{(l)} = 0, \quad a^{(l)} = -\frac{i2}{a_{66}^{(l)}}(a_{i,7} + b)$$

$$\begin{split} z_{1}^{(i)} &= \left[G_{2}^{(i)} \gamma(a_{1}\gamma + 2b) - G_{2}^{(i)} h_{1}(a_{1}h_{1} + 2b) \right] \frac{1}{2(R + \gamma)} \\ z_{2}^{(i)} &= G_{2}^{(i)}(a_{1}\gamma + b) + A_{13}^{(i)} G_{22}^{(i)} \frac{\gamma}{2(R + \gamma)} (a_{11}\gamma + 2b) - A_{13}^{(i)} G_{22}^{(i)} \frac{h_{1}}{R + \gamma} \times \\ &\times (a_{1}h_{1} + 2b) - \frac{a_{12}^{(i)}}{2\Delta^{(i)}(R + \gamma)} \left[G_{33}^{(i)} \gamma(a_{1}\gamma + 2b) - G_{33}^{(i)} h_{2}(a_{2}h_{2} - 2b) \right] \\ z_{13}^{(i)} &= G_{22}^{(i)}(a_{1} + b) + A_{23}^{(i)} G_{21}^{(i)} \frac{\gamma}{2R} (a_{1} + 2b) - A_{23}^{(i)} G_{22}^{(i)} \frac{h_{1}}{2R} (a_{1}h_{1} + 2b) + \\ &+ \frac{a_{11}^{(i)}}{\Delta^{(i)}} \left[G_{33}^{(i)} \frac{\gamma}{2R} (a_{1}\gamma + 2b) - G_{33}^{(i)} \frac{h_{2}}{2R} (a_{2}h_{2} - 2b) \right] \\ u_{13}^{(i)} &= \frac{1}{2} z_{13}^{(i)} \gamma(a_{1}\gamma + 2b) - \frac{1}{2} z_{13}^{(i)} h_{2}(a_{2}h_{2} - 2b) + \\ &+ \frac{1}{6R} z_{13}^{(i)} \gamma(a_{1}\gamma + 2b) - \frac{1}{2} z_{13}^{(i)} h_{2}(a_{2}h_{2} - 2b) + \\ &- \frac{h_{1}}{6R} z_{13}^{(i)} \gamma(a_{1}\gamma + 2b) - \frac{1}{2} G_{33}^{(i)} h_{2}(a_{2}h_{2} - 2b) - \\ &- \frac{h_{1}}{2R} z_{13}^{(i)} \gamma(a_{1}\gamma + A_{23}^{(i)} h_{2}) G_{22}^{(i)}(a_{1}h_{1} + 2b) + \frac{\gamma h_{2}}{2R} A_{13}^{(i)} G_{33}^{(i)}(a_{2}h_{2} - 2b) + \\ &+ \frac{\gamma^{1}}{6R} z_{13}^{(i)} \gamma(a_{1}\gamma + A_{23}^{(i)} h_{2}) G_{22}^{(i)}(a_{1}h_{1} + 2b) + \frac{h_{2}}{6R} A_{23}^{(i)} G_{23}^{(i)}(a_{2}h_{2} - 3b) + \\ &+ \frac{h_{1}}{6R} z_{13}^{(i)} G_{33}^{(i)}(2a_{2}h_{2} - 3b) \\ G_{11}^{(i)} &= (a_{12}^{(i)} z_{13}^{(i)} - a_{13}^{(i)} z_{13}^{(i)}) (a_{13}^{(i)} z_{13}^{(i)} - (a_{13}^{(i)})^{2}) \\ G_{11}^{(i)} &= (a_{12}^{(i)} z_{13}^{(i)} - a_{13}^{(i)} z_{13}^{(i)}) (a_{13}^{(i)} z_{13}^{(i)} - (a_{13}^{(i)})^{2}) \\ G_{11}^{(i)} &= (a_{12}^{(i)} z_{13}^{(i)} - a_{13}^{(i)} z_{13}^{(i)}) (a_{13}^{(i)} z_{13}^{(i)} - (a_{13}^{(i)})^{2}) \\ G_{11}^{(i)} &= (a_{12}^{(i)} z_{13}^{(i)} - a_{13}^{(i)} z_{13}^{(i)}) (a_{13}^{(i)} z_{13}^{(i)} - (a_{13}^{(i)})^{2}) \\ G_{12}^{(i)} &= (a_{12}^{(i)} z_{13}^{(i)} - a_{13}^{(i)} z_{13}^{(i)}) (a_{13}^{(i)} z_{13}^{(i)} - (a_{13}^{(i)})^{2}) \\ G_{12}^{(i)} &= (a_{12}^{(i)} z_{13}^{(i)} - a_{13}^{(i)} z_{13}^{(i)}) (a_{13}^{(i)} - a_{13}^{(i)}) \\ G_{13}^{(i)} &= (a_{1$$



фиг. 1



Фиг. 2

3. Внешняя поверхность двухслойной ортотропной цилиндрической оболочки жестко закреплена, а внутри действует постоянное давление р. Объемные силы и переменные температурные поля отсутствуют (фиг. 2). Исходя из тех же формул, для искомых напряжений и перемещений получим

$$\sigma^{(i)} = \sigma^{(i)} = u^{(i)}_{*} = u^{(i)}_{*} = u^{(i)}_{*} = 0$$

$$\sigma^{(i)}_{*7} = \frac{R - h_{*}}{R + 1} p + (A^{(i)}_{23} \gamma + A^{(2)}_{33} h_{*}) \frac{p}{R}$$

$$\sigma^{(i)}_{*2} = A^{(i)}_{*}(R - h_{*} + h_{*}A^{(2)}_{33} + \gamma A^{(i)}_{23}) \frac{p}{R} - \frac{a^{(i)}_{*}}{\Delta^{(i)}} (A^{(i)}_{*} \gamma - h_{1}A^{(i)}) \frac{p}{R}$$

$$\sigma^{(i)} = A^{(i)}_{*3}(R - h_{*} + h_{*}A^{(i)} + A^{(i)}_{*}) + A^{(i)}_{*} \frac{p}{R + 1} + \frac{a^{(i)}_{*1}}{\Delta^{(i)}} (A^{(i)}_{*1} \gamma - h_{1}A^{(i)}) \frac{p}{R + 1}$$

$$u^{(i)}_{*1} = (A^{(i)}_{33} \gamma - A^{(i)}_{*1} h_{1})(R - h_{*} + h_{*}A^{(2)}_{33}) \frac{p}{R} + \frac{1}{2} (A^{(i)}_{33} h^{2} - \gamma^{*}A^{(i)}_{33}) \frac{p}{R} + A^{(i)}_{33}(A^{(i)}_{*1} \gamma - h_{1}A^{(i)}_{23}) \frac{h_{1}p}{R}$$

$$\Delta^{(i)} = [a^{(i)}_{*1} a^{(i)} - (a^{(i)}_{*1})^{2}] a^{(i)}$$

Используя специфичность упругих и температурных свойств отдельных слоев, на основе полученного общего решения можно ответить на различные оптимизационные вопросы.

ABOUT THE ASYMPTOTIC SOLUTION OF NON-CLASSICAL BOUNDARY PROBLEMS FOR BI-LAYER ANIZOTROPIC THERMOELASTIC SHELLS

L. A. AGALOVIAN, R. S. GEVORGIAN

ԵՐԿՇԵՐՏ ԱՆԻԶՈՏՐՈՊ ԶԵՐՄԱԱՌԱՁԳԱԿԱՆ ԹԱՂԱՆԹՆԵՐԻ ՈՉ ԴԱՍԱԿԱՆ ԵԶՐԱՅԻՆ ԽՆԴԻՐՆԵՐԻ ԱՍԻՄՊՏՈՏԻԿ ԼՈՒԾՄԱՆ ՄԱՍԻՆ

Լ. Ա. ԱՎԱԼՈՎՅԱՆ, Ռ. Ս. ԳԵՎՈՐԴՅԱՆ

Ասփոփում

Երկշերտ չերմաառաձգական Թաղանիների խառը տարածական խնդիրների դասի համար ստացված է ասիմպտոտիկ լուծում։ Շերտերը համարվում են կամալական անիզոտրոպ (բնութագրվում են 21 առաձգական հաստատուններով)։ Ապացուցված է թաղանիների դասական տեսության ոչ կիրառելիությունը նման խնդիրների լուծման համար։ Ստացված արդյունքները լուսարանված են երկշերտ գլանային թաղանիների երկու մոդելային խնդիրների լուծումներով։

ЛИТЕРАГУРА

- Асаловян Л. А. О некоторых соотношениях классической линейной теории анадогровных оболочек и возможностях их уточнения.—Изв. АН СССР, МТТ, 1972, № 1, с. 109—120.
- 2 Повацкий В. Динамические задачи гермоупругости. М.: Мир. 1970. 256 с.
- 3. Гольденвейзер А. Л. Теория упругих топких оболочек.--М.: Наука, 1976. 512 🐇
- 4. Васильева А. Б., Бутуров В. Ф. Асимптотические разложения решений сингулярво возмущенных уравнений.—М.: Наука, 1973. 272 с.
- Агаловян Я. А., Геворкян Р. С. Неклассические краеные задачи пластии с обшен авизотронней.—В ки.: Механия конструкций на композиционных материалов. Новосибирск, Наука, 1984. с. 105—110.
- Агалован Л. А. О погранелое пластинок.—Докл. АН Арм. ССР, 1972, т. 55, № 3, с. 149—155.
- Геворкян Р. С. Асимптотика пограничного слоя для одного класса краевых задач внизотролных пластии.—Итв. АН Арм. ССР. Механика, 1984, т. 37. № 6. с. 3—15.
- 8. Александров В. М., Бабешко В. А., Беловонь А. В., Ворович И. И., Устинов Ю. А. Контактная задача для кольцевого слоя малой полиции.—Инж. ж. МТТ, 1966, № 1. с. 135—139.
- Агаловян Л. А. К определению напряжению деформированного состояния двухслойной полосы и о справедливости гинотезы Винклера. В сб: XIII Всесоюзи. коиф по геории пластии и оболочек. Ч. Г. А. В. Галлии, 1983. с. 13—18.
- 10 Асаловян Л. А., Хачатрян А. М. Асимптотический анализ папряженно-деформированного состояния анизотропной слоистой балки.—Изв. АН Арм. ССР. Механика, 1986, т. 39, № 2, с. 3—14.

Институт механики АН Армянской ССР Поступила в редакцию 27 IV 1987